

ICAB Force Exemples

Exemples de calculs statiques pour ICAB Force

manuel de l'utilisateur

Table des Matières

Introduction	2
SSLL01 Poutre élancée sur deux appuis encastrés	3
SSLL02 Poutre courte sur deux appuis articulés	4
SSLL03 Poutre élancée sur trois appuis	6
SSLL04 Structure spatiale rotulée sur appuis élastiques	7
SSLL05 Bilame: poutres encastrées reliées par un élément indéformable	9
SSLL06 Arc mince encastré en flexion plane	11
SSLL07 Arc mince encastré en flexion hors plan	13
SSLL08 Arc mince bi-articulé en flexion plane	15
SSLL09 Système de deux barres à trois rotules	17
SSLL10 Portique à liaisons latérales	18
SSLL11 Treillis de barres articulées sous une charge ponctuelle	20
SSLL12 Système triangulé de barres articulées	21
SSLL13 Poutre sous-tendue	23
SSLL14 Portique plan articulé en pied	25
SSLL15 Poutre sur sol élastique, extrémités libres	27
SSLL16 Poutre sur sol élastique, extrémités articulées	29

Introduction

Les exemples présentés dans ce manuel sont extraits du "Guide de validation des progiciels de calcul de structures" publié par l'AFNOR. Ces tests ont été élaborés par la Société Française des Mécaniciens (SFM) avec pour objectif de "contribuer à l'amélioration de la qualité et de la fiabilité des progiciels de calcul de structures, outils indispensables à la conception et au dimensionnement des équipements mécaniques".

Les logiciels ICAB ont passé avec succès les tests AFNOR et l'utilisateur pourra étudier ces exemples pour se familiariser avec le calcul de structure.

Pour dépouiller un projet, par exemple SSLS01, ouvrez le fichier SSLS01.IGB avec le logiciel ICAB Force (<http://www.icab.fr/download>).

Si vous disposez d'une licence d'utilisation, pour créer, calculer et dépouiller un modèle à partir d'un fichier de données IGA, suivez les étapes suivantes:

1. Vous éditez, avec ICAB Edit, un fichier au format IGA (par exemple SSLS01.IGA) qui contient la description de votre structure.
2. Vous générez le projet SSLS01 à partir du fichier SSLS01.IGA avec la commande ICAB "Fichier, Importer"
3. Vous lancez les calculs avec la commande « Calcul, calcul ».
4. Vous pouvez alors dépouiller ou extraire une note de calcul.

N.B. Vous pouvez aussi générer un projet avec ICAB Force sans avoir besoin de créer un fichier de données IGA. Les étapes de votre étude sont alors:

1. Ouverture d'un nouveau projet et saisie à l'écran de la structure (noeuds, éléments, charges, options de calcul).
2. Calculs et dépouillement décrits ci-dessus.

SUPPORT TECHNIQUE

Attention, quelle que soit votre licence, vous ne pouvez bénéficier du support technique ICAB que si vous avez signé et envoyé à ICAB la fiche relative aux "conditions générales d'utilisation des logiciels ICAB" ou le bon de commande, ou la facture comportant les conditions générales d'utilisation au dos.

ICAB® marque déposée par ICAB S.A.

2 rue Joly, 31400 Toulouse, France.

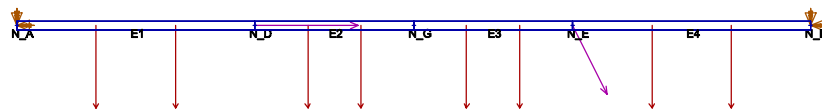
TEL 05 62 26 06 06

FAX 05 62 26 00 40

e-mail : icab@icab.fr

SSLL01 Poutre élancée sur deux appuis encastrés

[SSLL01] POUTRE ELANCEE SUR DEUX APPUIS ENCASTRES
Step1 NO: STATIQUE LINEAIRE
138.5 mm/unit.



SSLL 01/89 POUTRE ELANCEE SUR DEUX APPUIS ENCASTRES

"Guide de Validation des Progiciels de calcul des structures"
AFNOR 1990, ISBN 2-12-486611-7

ANALYSE: STATIQUE (PROBLEME PLAN)
TEST: ELEMENTAIRE
FONCTIONS: POUTRE DROITE ELANCEE, FLEXION DANS LE PLAN
TRACTION-COMPRESSION

A-----D----G----E-----B

L= 1 m
I= 1.7E-8 m⁴
E= 2.1E11 Pa

noeud A,B: encastres
noeud D: effort axial F1= 30 000 N, couple C= -3000 Nm
noeud E: effort axial F2 = 10 000 N, effort tranchant F= -20 000 N
charge repartie sur toute la longueur AB: -24 000 N/m
abscisses A (0.0), D (0.3), E (0.7), B (1.0)

Solution analytique:
en G (centre de la poutre)
effort tranchant -540 N
moment flechissant 2800 Nm
fleche -4.9E-2 m
en A
reaction horizontale -24 000 N

```
NODE()
N_A; 0.0, 0.0, 0.0; /* extremite gauche */ 
N_D; 0.3, 0.0, 0.0;
N_G; 0.5, 0.0, 0.0; /* centre de la poutre */ 
N_E; 0.7, 0.0, 0.0;
N_B; 1.0, 0.0, 0.0; /* extremite droite L=1m */ 

PROPERTY(TYPE=ISOTROPIC) /* definition du materiau "mat1" */
mat1; E=2.1E11, DEN=7.85E3; /* module d'Young (N/m2), densite (kg/m3) */

PROPERTY(TYPE=BEAM_LINEAR) /* proprietes de la poutre "beam1" */
beam1; IZZ=1.7E-8, /* moment d'inertie (m4) pour les couples RZ*/
```

```

AR=1.0E-3,          /* aire de la section (m2) */
CVA=7.85;           /* cout (Franc/m) (utilise pour devis) */

/*      Definition de la poutre droite: A, D, G, E, B  */
ELEMENT(TYPE=BEAM_LINEAR,PROP=beam1,MAT=mat1)
b1;      N_A, N_D;
b2;      N_D, N_G;
b3;      N_G, N_E;
b4;      N_E, N_B;

CONSTRAINT(TYPE=KINEMATICS)
; ALL,      Z,RX,RY;      /* elimination des degres de liberte pour tous les noeuds*/

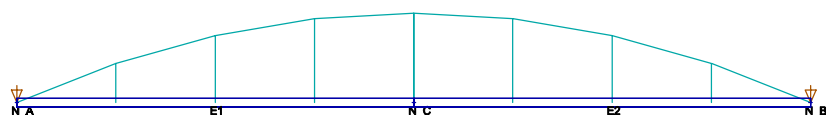
RESTRAINT(TYPE=DISPLACEMENT)
; N_A,      X=0.0, Y=0.0, RZ=0.0;      /* blocage du noeud A (pour le calcul de reaction)*/
; N_B,      X=0.0, Y=0.0, RZ=0.0;
/*      forces concentrees aux noeuds D et E      */
LOAD(TYPE=FORCE,CASE=1)
FORCE; N_D,      X= 30.0E3, RZ= -30000.0;      /* force axiale (N) et moment (N.m) */
; N_E,      X= 10.0E3, Y= -20.0E3;      /* force axiale (N) et effort tranchant (N)      */

LOAD(TYPE=ED_PRESSURE, CASE=2)      /* charge (N/M) repartie selon Y (repere local)*/
PRESSION; b1,      E2= -24.0E3;
; b2,      E2= -24.0E3;
; b3,      E2= -24.0E3;
; b4,      E2= -24.0E3;

/* preparation du calcul avec tous les cas de chargements */
STEP()
;      MODEL="POUTRE ELANTEE SUR DEUX APPUIS ENCASTRES (AFNOR)",
RUN="statique";

```

SSLL02 Poutre courte sur deux appuis articulés



```

*****
SSLL 02/89 POUTRE COURTE SUR DEUX APPUIS ARTICULES

```

"Guide de Validation des Progiciels de calcul des structures"
AFNOR 1990, ISBN 2-12-486611-7

ANALYSE: STATIQUE (PROBLEME PLAN)
TEST: ELEMENTAIRE
FONCTIONS: POUTRE DROITE COURTE, FLEXION DANS LE PLAN
DEFORMATION D'EFFORT TRANCHANT

A-----C-----B

```

L=      1.44 m      longueur AB
A=      31.0E-4 m2    aire
IZZ=    2810.0E-8 m4   inertie
SRY=    2.42          coefficient de cisaillement
E=      2.0E11 Pa
nu=    0.3

```

NOEDS A,B: ARTICULES
FORCE UNIFORMEMENT REPARTIE SUR AB -1.0E5 N/m

Solution analytique:
FLECHE=v1 + v2
v1 = -5.P.L**4/(384.E.IZZ)
v2 = -L*L.P*SRY/(8.AR.G) effet du cisaillement transverse
FLECHE EN C -1.25926E-3 (avec effet du cisaillement transverse)
FLECHE EN C -0.9962E-3 (poutre elancée, non prise en compte du cisaillement transverse)
*****/* pour obtenir une poutre avec 4 noeuds, il faut que la macro <_N4> soit définie */
/* #define _N4 1 */

NODE()
N_A; 0.0, 0.0, 0.0; /* extremite gauche */
N_B; 1.44, 0.0, 0.0; /* extremite droite */
N_C; 0.72, 0.0, 0.0; /* milieu de la poutre */
#ifndef _N4
N_A1; 0.36, 0.0, 0.0;
N_A2; 1.08, 0.0, 0.0;
#endif

PROPERTY(TYPE=ISOTROPIC) /* definition du matériau "mat1" */
mat1; E=2.0E11, NU=0.3, /* module d'Young, coefficient de Poisson */
DEN=7.85E3; /* densité */

PROPERTY(TYPE=BEAM_LINEAR) /* propriétés de la poutre "beam1" */
beam1; AR= 31.0E-4, /* aire de la section */
IZZ=2810.0E-8, /* inertie */
SRY=2.42; /* coefficient de cisaillement Aire totale/Aire cisaille=2.42
* ce coefficient est toujours supérieur à 1.0 permet de
* tenir compte des effets du cisaillement transverse */
/*
Definition de la poutre droite: A, D, G, E, B */
ELEMENT(TYPE=BEAM_LINEAR,PROP=beam1,MAT=mat1)
#ifndef _N4
b1; N_A, N_A1;
b2; N_A1, N_C;
b3; N_C, N_A2;
b4; N_A2, N_B;
#else
b1; N_A, N_C;
b2; N_C, N_B;
#endif

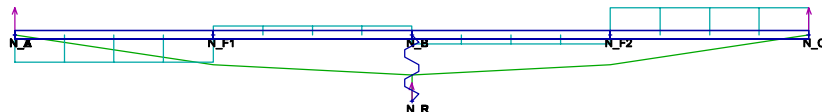
CONSTRAINT(TYPE=KINEMATICS)
; ALL, X, Z, RX, RY; /* Elimination des degrés de liberté */

RESTRAINT(TYPE=DISPLACEMENT)
; N_A, Y= 0.0; /* déplacement imposé, obtention des réactions */
; N_B, Y= 0.0;

LOAD(TYPE=ED_PRESSURE) /* charge répartie */
; b1, E2= -1.0E5;
; b2, E2= -1.0E5;
#ifndef _N4
; b3, E2= -1.0E5;
; b4, E2= -1.0E5;
#endif

/* préparation du calcul avec tous les cas de chargements */
STEP()
; MODEL="POUTRE COURTE SUR DEUX APPUIS ARTICULES (AFNOR)",
RUN="statique";

SSLL03 Poutre élancée sur trois appuis



```
*****
SSLL 03/89 POUTRE ELANCEE SUR TROIS APPUIS
```

"Guide de Validation des Progiciels de calcul des structures"
AFNOR 1990, ISBN 2-12-486611-7

ANALYSE: STATIQUE (PROBLEME PLAN)
TEST: ELEMENTAIRE
FONCTIONS: POUTRE DROITE ELANCEE, FLEXION DANS LE PLAN
LIAISON ELASTIQUE DISCRETE

F1 F2
A-----B-----C

L(AB)=L(BC)=2L= 6 m
IZZ= 6.3E-4 m⁴
E= 2.1E11 Pa
F= -42E3 N

noeud A,C: libre en rotation RY
noeud B: point d'appui d'un ressort vertical (Ky= 2.1E6 N/m)
la poutre a pour longueur 4L=12m (entre A et C) et
deux forces concentrees (F) sont appliquées aux abscisses L et 3L.

Calcul: FLECHE EN B -0.010 m, REACTION AU SOL 21000 N

```
*****
```

NODE()
N_A; 0.0, 0.0, 0.0; /* extremite gauche */
N_B; 6.0, 0.0, 0.0; /* centre de la poutre */
N_C; 12.0, 0.0, 0.0; /* extremite droite */
N_F1; 3.0, 0.0, 0.0; /* point d'application de la force a gauche */
N_F2; 9.0, 0.0, 0.0; /* point d'application de la force a droite */
N_R; 6.0,-1.0, 0.0; /* point d'appui du ressort */

PROPERTY(TYPE=ISOTROPIC) /* definition du materiau "mat1" */
mat1; E=2.1E11,DEN=7.8E3; /* module d'Young, densite */

PROPERTY(TYPE=BEAM_LINEAR) /* proprietes de la poutre "beam1" */
beam1; IZZ=6.3E-4, AR=1.0E-2; /* moment d'inertie, section */
PROPERTY(TYPE=SPRING)
spring1; K=2.1E6, /* raideur du ressort "spring1" */
MAF=0.5; /* masse du ressort */

```
/*      Definition de la poutre droite: A, F1, B, F2, C */
ELEMENT(TYPE=BEAM_LINEAR, PROP=beam1, MAT=mat1)
;N_A, N_F1;
;N_F1, N_B;
;N_B, N_F2;
;N_F2, N_C;
/*      Definition du ressort entre les noeuds B et R  */
ELEMENT(TYPE=SPRING, PROP=spring1)
;N_B, N_R;

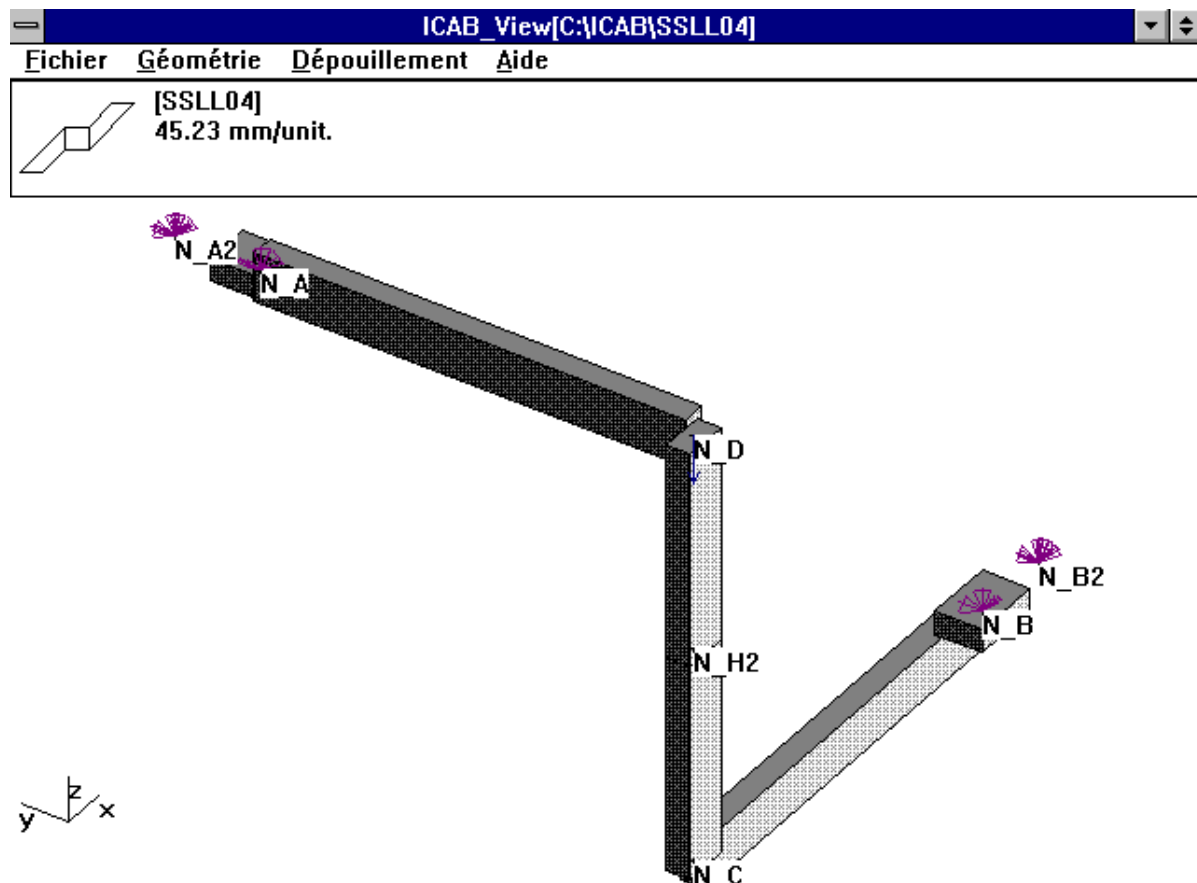
CONSTRAINT(TYPE=KINEMATICS)
; ALL, X, Z,RX,RY; /* elimination des degrés de liberté*/

RESTRAINT(TYPE=DISPLACEMENT)
;N_A, Y=0.0;
;N_C, Y=0.0;
;N_R, Y= 0.0;

/*      forces concentrées aux noeuds F1, F2 dans la direction Z */
LOAD(TYPE=NFORCE)
;N_F1, Y= -42E3;
;N_F2, Y= -42E3;

/* préparation du calcul avec tous les cas de chargements */
STEP()
; MODEL="POUTRE ELANTEE SUR TROIS APPUIS (AFNOR)",
RUN="statique";
```

SSLL04 Structure spatiale rotulée sur appuis élastiques



SSLL 04/89 STRUCTURE SPATIALE SUR APPUIS ELASTIQUES
"Guide de Validation des Programmes de calcul des structures"

AFNOR 1990, ISBN 2-12-486611-7

ANALYSE: STATIQUE (PROBLEME PLAN)
TEST: ELEMENTAIRE
FONCTIONS: POUTRE DROITE ELANTEE, FLEXION

```

        LIAISON ELASTIQUE DISCRETE
A (Oy)      L= 2m
o\          Iyy=Izz= 1E-6 m4
 \          TC= 2E-6 m4
\o D   B(Ox) A = 1E-3 m2
 |   o   E = 2.1E11 Pa
 | H /   G = 7.875E10 Pa (NU=1/3)
 |   /
 |   /
C o/

```

noeud A: Theta(Y)=0, Ky=52500N/m, Ry=Rz=52500 Nm/rad
noeud B: Theta(X)=0, Kx=52500N/m, Ry=Rz=52500 Nm/rad
charge au point D: Fz= -10E3N
La modelisation de la rotule en H est assuree avec l'entite
CONSTRAINT(TYPE=COUPLE)
Moments au point A: Mx=-1562, My=8438, Mz= -3125
Deplacement en A: X=0, Y=-29.76E-3, Z=0, RX=0.16073, RY=0, RZ=-0.059516,
Deplacement en D: X=-0.13887, Y=-29.78E-3, Z=-0.37007

```

NODE()
N_A;    0.0, 2.0, 1.0;
N_B;    2.0, 0.0,-1.0;
N_C;    0.0, 0.0,-1.0;
N_D;    0.0, 0.0, 1.0;
N_H1;   0.0, 0.0, 0.0; /* point central avec rotule */
N_H2;   0.0, 0.0, 0.0;
N_A2;   0.0, 2.4, 1.0; /* point fixe */
N_B2;   2.4, 0.0,-1.0; /* point fixe */

PROPERTY(TYPE=ISOTROPIC) /* definition du materiau "mat1" */
mat1;   E=2.1E11, DEN=7.85E3, /* module d'Young, densite */
        NU=0.3333333333; /* G = E/2/(1+NU), G=7.875E10 */

PROPERTY(TYPE=BEAM_LINEAR) /* proprietes de la poutre "beam1" */
beam1;  IYY=1.0E-6,IZZ=1.0E-6, /* moments d'inertie Iyy */
        TC=2.0E-6, /* constante de torsion */
        AR=0.001; /* section */

#define K_ROT      52500.0
#define K_TRANS     52500.0
PROPERTY(TYPE=BUSHING) /* raideurs des liaisons élastiques */
appui;  K=K_TRANS, 0.0, 0.0, /* rigidites de translation */
        K_ROT, K_ROT, K_ROT; /* rigidites de rotation */

/* Definition des poutres A-D, D-C, C-B */
ELEMENT(TYPE=BEAM_LINEAR,PROP=beam1,MAT=mat1)
;      N_A, N_D;
;      N_D, N_H1;
;      N_H2, N_C;
;      N_C, N_B;

/* Definition du ressort entre les noeuds A et B */
ELEMENT(TYPE=BUSHING,PROP=appui)
;      N_A, N_A2, N_D, N_C;
ELEMENT(TYPE=BUSHING,PROP=appui)
;      N_B, N_B2, N_C, N_D;

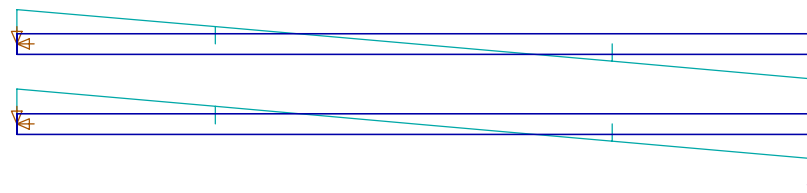
RESTRAINT(TYPE=DISPLACEMENT)
; N_A2,  X,0.0, Y,0.0, Z,0.0, RX,0.0, RY,0.0, RZ,0.0; /* noeuds fixes */
; N_B2,  X,0.0, Y,0.0, Z,0.0, RX,0.0, RY,0.0, RZ,0.0;
; N_A,   X=0.0, Z=0.0, RY=0.0;
; N_B,   Y=0.0, Z=0.0, RX=0.0;

/* etablissemant de la rotule par fusion des degres de liberte
 * des noeuds H1 et H2. Mais les rotations de ces noeuds
 * sont independantes
 */
CONSTRAINT(TYPE=COUPLE)
;      N_H1, N_H2,      X, Y, Z;

/* force concentree au noeud D dans la direction Z */
LOAD(TYPE=NFORCE)
; N_D, Z= -1.0E4;
```

```
/* preparation du calcul */
STEP()
;
      MODEL="STRUCTURE SPATIALE SUR APPUIS ELASTIQUES (AFNOR)",
      RUN="statique";
```

SSLL05 Bilame: poutres encastrées reliées par un élément indéformable



SSLL 05/89 BILAME : POUTRES ENCASTREES RELIES PAR
UN ELEMENT INDEFORMABLE

"Guide de Validation des Progiciels de calcul des structures"
AFNOR 1990, ISBN 2-12-486611-7

ANALYSE: STATIQUE (PROBLEME PLAN)
TEST: ELEMENTAIRE
FONCTIONS: POUTRE DROITE ELANCEE, FLEXION DANS LE PLAN
ELEMENT INDEFORMABLE

A-----B
|
C-----D
|
L
L= 2 m distance entre A et B (C et D)
l= 0.2m distance entre B et D relies par une barre rigide
I= 1.33333E-8 m⁴ moment d'inertie
AR= 4E-4 section
E= 2.0E11 Pa
F= -1.0E3 N force appliquee vers le bas en D

noeud A,B: encastres

Solution analytique:

en B et D : FLECHE -0.125

en A et B : reaction Fy=500 N, moment 500 Nm (Fx=0.0)

Remarque: cette solution correspond au cas où les extrémités N_B et N_D sont bloquées en rotation RZ. Lorsqu'une barre rigide est effectivement utilisée, les noeuds N_B et N_D subissent des déplacements en X et RZ.

Dans ce cas, la section des poutres intervient dans la solution.

Pour obtenir la solution avec barre rigide, il suffit de définir la macro _RP (enlever le commentaire devant "#define _RB_ 1")

Solution avec barre rigide:

Reaction en A Fx= -4983.39, Fy= 500, Mz= 501.661

Déplacement en D x=-0.000124585, y=-0.126246, rz=-0.00124585

```
*****
/* #define _RB_ 1 */
NODE()
N_A;      0.0, 0.1, 0.0;
N_B;      2.0, 0.1, 0.0;
N_C;      0.0,-0.1, 0.0;
N_D;      2.0,-0.1,0.0;

PROPERTY(TYPE=ISOTROPIC)          /* definition du materiel "mat1" */
mat1; E=2.0E11, DEN=7.8E3;       /* module d'Young, densite */

PROPERTY(TYPE=BEAM_LINEAR)        /* proprietes de la poutre "beam1" */
beam1;   AR=4.0E-4,              /* aire de la section */
         IYY=1.3333333333E-8,    /* moment d'inertie */
         IZZ=1.3333333333E-8, TC=1.0E-8;

/*      Definition des poutres droite: AB et CD      */
ELEMENT(TYPE=BEAM_LINEAR, PROP=beam1, MAT=mat1)
;      N_A, N_B, N_D;    /* poutre AB           */
;      N_C, N_D, N_B;    /* poutre CD           */

/* elimination des degres de liberte
 * les deplacements possibles sont dans le plan XoY
 */
CONSTRAINT(TYPE=KINEMATICS)
; ALL,     Z,RX,RY;

/* Remarque: le noeud N_B doit etre libre s'il est lie a N_C
 * par un lien rigide. Dans ce cas, N_B ne doit donc subir aucune restriction
 * de deplacement
 */

#ifndef _RB_
/* les resultats avec lien rigide permettent les deplacements selon X et RZ
 * aux extremites N_B et N_D.
 */
ELEMENT(TYPE=RIGID_BAR)
; N_D, N_B;      /* barre rigide sans masse entre B et D */
#else
/* configuration du calcul analytique,
 * blocage des extremites N_D et N_B pour les rotations Rz
 */
CONSTRAINT(TYPE=COUPLE)
; N_D, N_B, Y;
RESTRAINT(TYPE=DISPLACEMENT)
; N_D, RZ=0.0;
; N_B, RZ=0.0;
#endif

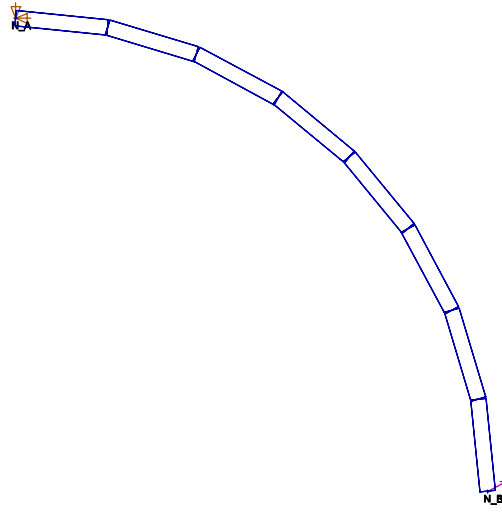
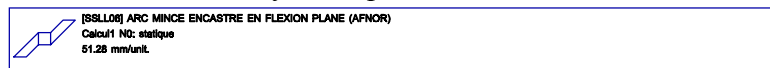
TRACELINE()
; N_D, N_B;

RESTRAINT(TYPE=DISPLACEMENT)
; N_A, X,0.0, Y,0.0, RZ,0.0;          /* blocage des noeuds A et C */
; N_C, X,0.0, Y,0.0, RZ,0.0;          /* les reactions seront calculees */

/*      force concentree au noeud D dirigee vers le bas      */
LOAD(TYPE=FORCE)
; N_D,     Y, -1000.0;

/* preparation du calcul */
STEP()
;      MODEL="BILAME: POUTRES ENCASTREES RELIEES PAR UN ELEMENT INDEFORMABLE (AFNOR)"
RUN="statique";
```

SSLL06 Arc mince encastré en flexion plane



SSLL 06/89 ARC MINCE ENCASTRE EN FLEXION PLANE

"Guide de Validation des Progiciels de calcul des structures"
AFNOR 1990, ISBN 2-12-486611-7

ANALYSE: STATIQUE LINEAIRE (PROBLEME PLAN)
TEST: ELEMENTAIRE
FONCTIONS: ARC MINCE, FLEXION DANS LE PLAN

A* *
| *
|
| *
-----B

R= 3 m rayon de l'arc
section circulaire creuse De=0.02m, Di=0.016m
section AR=1.131E-4 m²
moment d'inertie Ix=4.637E-9
module E=2.0E11

chargement en B: Fx=10N, Fy=5N, Mz=8N.m
noeud A encastre

Solution analytique:
en B x=0.3791, y=0.2417, rz=0.1654

Reaction en A: Fx= -10.0, Fy= -5.0, Mz=-53.0

Modelisation avec 2 poutres droites, deplacement en B:
x=0.343888 (-9.2%) y=0.24368 (0.8%), rz=0.158718 (-4.0%)

Modelisation avec 4 poutres droites, deplacement en B:
x=0.369899 (-2.4%) y= 0.242041 (0.1%), rz=0.163711 (-1.0%)

Modelisation avec 8 poutres droites, deplacement en B:
x=0.37676 (-0.6%) y= 0.241799 (0%), rz=0.164971 (-0.26%)

*****/
NODE()
N_A; 0.0, 3.0, 0.0;
N_B; 3.0, 0.0, 0.0;
N_O; 0.0, 0.0, 0.0;
N_A1; 2.942355841, 0.585270966, 0.0; /* 11.25 degres */
N_A2; 2.771638598, 1.148050297, 0.0; /* 22.5 degres */
N_A3; 2.494408837, 1.666710699, 0.0; /* 33.75 deg. */
N_A4; 2.121320344, 2.121320344, 0.0; /* 45 deg. */
N_A5; 1.666710699, 2.494408837, 0.0; /* 56.25 deg */

```
N_A6;    1.148050297, 2.771638598, 0.0; /* 67.5 deg */
N_A7;    0.585270966, 2.942355841, 0.0; /* 78.75 deg */
```

```
PROPERTY(TYPE=ISOTROPIC)          /* definition du materiau "mat1" */
mat1; E=2.0E11, DEN=7.8E3;        /* module d'Young, densite           */

PROPERTY(TYPE=BEAM_LINEAR)         /* proprietes de la poutre "beam1" */
beam1; AR=1.131E-4,               /* aire de la section   */
       IYY=4.637E-9, IZZ=4.637E-9, /* moment d'inertie      */
       TC=9.274E-9;                /* constante de torsion     */

/*      Definition des poutres droite: AB et CD      */
ELEMENT(TYPE=BEAM_LINEAR, PROP=beam1, MAT=mat1)
#ifndef _N4
;      N_B, N_A2, N_O;
;      N_A2, N_A4, N_O;
;      N_A4, N_A6, N_O;
;      N_A6, N_A, N_O;
#else
;      N_B, N_A1, N_O;
;      N_A1, N_A2, N_O;
;      N_A2, N_A3, N_O;
;      N_A3, N_A4, N_O;
;      N_A4, N_A5, N_O;
;      N_A5, N_A6, N_O;
;      N_A6, N_A7, N_O;
;      N_A7, N_A, N_O;
#endif

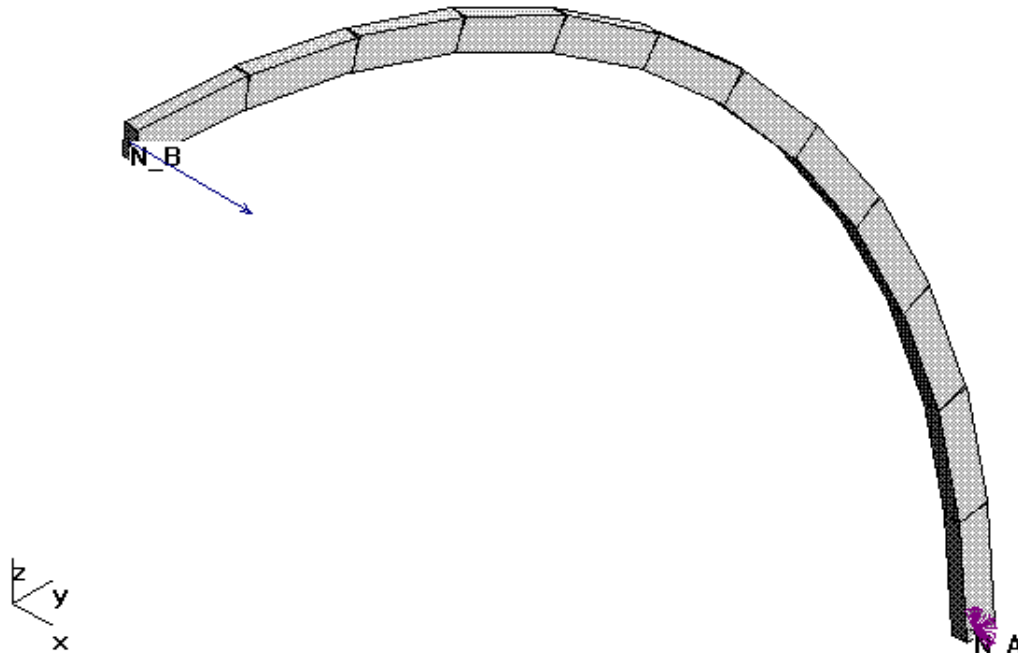
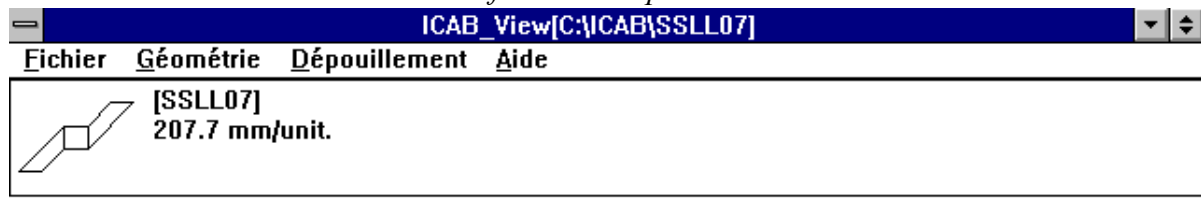
/* elimination des degres de liberte
 * les deplacements possibles sont dans le plan XoY
 */
CONSTRAINT(TYPE=KINEMATICS)
; ALL,      Z,RX,RY;

RESTRAINT(TYPE=DISPLACEMENT)
; N_A, X=0.0, Y=0.0, RZ=0.0;      /* blocage du noeud A */

/*      force concentree au noeud D dirigee vers le bas      */
LOAD(TYPE=FORCE)
; N_B,      X=10.0, Y=5.0, RZ=8.0;

/* preparation du calcul avec tous les cas de chargements */
STEP()
;      MODEL="ARC MINCE ENCASTRE EN FLEXION PLANE (AFNOR)",
RUN="statique";
```

SSLL07 Arc mince encastré en flexion hors plan



```
*****
SSLL 07/89 ARC MINCE ENCASTRE EN FLEXION HORS PLAN
```

"Guide de Validation des Progiciels de calcul des structures"
AFNOR 1990, ISBN 2-12-486611-7

ANALYSE: STATIQUE LINEAIRE (PROBLEME PLAN)
TEST: ELEMENTAIRE
FONCTIONS: ARC MINCE, FLEXION DANS LE PLAN

B*
| *
| *
-----A

R= 1 m rayon de l'arc
section circulaire creuse De=0.02m, Di=0.016m
section AR=1.131E-4 m²
moment d'inertie Ix=4.637E-9
module E=2.0E11, NU=0.3

chargement en B: Fx=100N
noeud A encastre

Solution analytique:
en B x=0.13462
angle a 15 deg. Mt= 74.1180, Mf= -96.5925

modelisation avec 7 poutres droites
reaction au noeud A: Fx=-100, My=-100, Mz=-100
deplacement au noeud B: x=0.133051 (-1.1%), ry=0.0552494, rz=0.122664
moments moyens en N_A2 (15 deg.) 73.96, -96.54 N.m

#define _B12 1

NODE()
N_A; 0.0, 1.0, 0.0;
N_B; 0.0, 0.0, 1.0;
N_O; 0.0, 0.0, 0.0;

```

N_A1; 0.0, 0.99144448614,0.1305261922; /* 7.5 degres */
N_A2; 0.0, 0.9659258263, 0.2588190451; /* 15 degres */
N_A3; 0.0, 0.9238795325, 0.3826834324; /* 22.5 degres */
N_A4; 0.0, 0.8660254038, 0.5000000000; /* 30 degres */
N_A5; 0.0, 0.7933533403, 0.608761429; /* 37.5 degres */
N_A6; 0.0, 0.7071067812, 0.7071067812; /* 45 deg. */
N_A7; 0.0, 0.608761429, 0.7933533403; /* 52.5 deg. */
N_A8; 0.0, 0.5000000000, 0.8660254038; /* 60 deg. */
N_A9; 0.0, 0.3826834324, 0.9238795325; /* 67.5 deg. */
N_A10; 0.0, 0.2588190451, 0.9659258263; /* 75 deg. */
N_A11; 0.0, 0.1305261922, 0.9914448614; /* 82.5 deg. */

PROPERTY(TYPE=ISOTROPIC)          /* definition du materiau "mat1" */
mat1; E=2.0E11, NU=0.3, DEN=7.8E3; /* module, coef. Poisson, densite */

PROPERTY(TYPE=BEAM_LINEAR)        /* proprietes de la poutre "beam1" */
beam1; AR=1.131E-4,              /* aire de la section */
       IYY=4.637E-9, IZZ=4.637E-9, /* moments d'inertie */
       TC=9.274E-9;               /* constante de torsion */

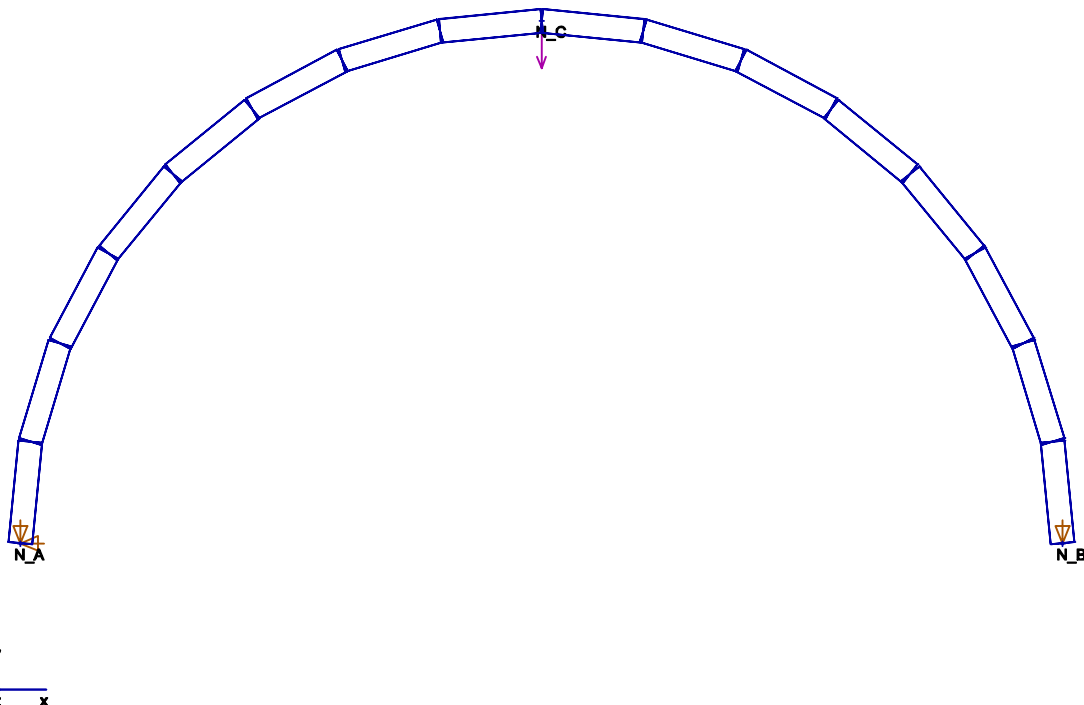
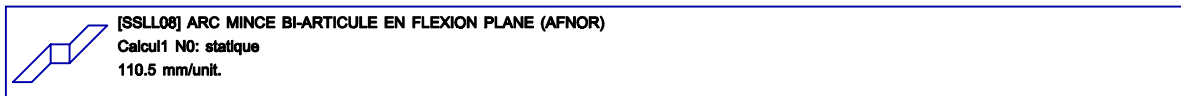
/* Definition des poutres droites */
ELEMENT(TYPE=BEAM_LINEAR,PROP=beam1,MAT=mat1)
#endif _B12
;
N_A, N_A1, N_O;
N_A1, N_A2, N_O;
N_A2, N_A3, N_O;
N_A3, N_A4, N_O;
N_A4, N_A5, N_O;
N_A5, N_A6, N_O;
N_A6, N_A7, N_O;
N_A7, N_A8, N_O;
N_A8, N_A9, N_O;
N_A9, N_A10, N_O;
N_A10, N_A11, N_O;
N_A11, N_B, N_O;
#endif
;
N_A, N_A2, N_O;
N_A2, N_A4, N_O;
N_A4, N_A6, N_O;
N_A6, N_A8, N_O;
N_A8, N_A10, N_O;
N_A10, N_B, N_O;
#endif
;
RESTRAINT(TYPE=DISPLACEMENT) /* blocage du noeud A */
; N_A, X=0.0, Y=0.0, Z=0.0, RX=0.0, RY=0.0, RZ=0.0;

/* force concentree au noeud B */
LOAD(TYPE=FORCE)
; N_B, X=100.0;

/* preparation du calcul */
STEP()
; MODEL="ARC MINCE ENCASTRE EN FLEXION HORS PLAN (AFNOR)",
RUN="statique";

```

SSLL08 Arc mince bi-articulé en flexion plane



SSLL 08/89 ARC MINCE BI-ARTICULE EN FLEXION PLANE

"Guide de Validation des Programmes de calcul des structures"
AFNOR 1990, ISBN 2-12-486611-7

ANALYSE: STATIQUE LINÉAIRE (PROBLÈME PLAN)
TEST: ELEMENTAIRE
FONCTIONS: ARC MINCE, FLEXION DANS LE PLAN

C
* * *

* *
A-----B

R= 1 m rayon de l'arc
section circulaire creuse $D_e=0.02m$, $D_i=0.016m$
section $A=1.131E-4 \text{ m}^2$
moment d'inertie $I_x=4.637E-9$
module $E=2.0E11$, $\nu=0.3$

chargement en C: $F_y=-100\text{N}$
noeud A encastre, B bloque dans la direction Y (mais libre en X)

Solution analytique:
en A $r_z=-3.0774E-2$
en B $x=5.3912E-2$, $r_z=3.0774E-2$
en C $y=-1.9206E-2$

Modélisation avec 2x1 poutres droites (A-C-B seulement)
en A: $r_z=-3.8123E-2$ (23.9%)
en B: $x=5.0828E-2$ (-5.7%) $r_z=3.8123E-2$
en C: $x=2.5414E-2$ $y=-2.5417E-2$ (-32.33%)

Modelisation avec 2x2 poutres droites:

en A: rz=-3.2718E-2 (6.3%)
 en B: x= 5.2656E-2 (-2.3%) rz=3.2718E-2
 en C: x= 2.6328E-2 y=-2.0145E-2 (4.9%)

Modelisation avec 2x4 poutres droites:

en A: rz=-3.1267E-2 (1.6%)
 en B: x= 5.3573E-2 (-0.6%) rz= 3.1267E-2
 en C: x= 2.6787E-2 y=-1.9395E-2 (0.9%)

Modelisation avec 2x8 poutres droites:

en A: rz=-3.0898E-2 (-0.4%)
 en B: x= 5.3826E-2 (-0.16%) rz=3.0898E-2
 en C: x= 2.6913E-2 y=-1.9250E-2 (+0.2%)

/* #define _N4 1 */

```
NODE()
N_A; -1.0, 0.0, 0.0;
N_B; 1.0, 0.0, 0.0;
N_C; 0.0, 1.0, 0.0;
N_A1; -0.9807852804, 0.195090322, 0.0;
N_B1; 0.9807852804, 0.195090322, 0.0; /* 11.25 degres */
N_A2; -0.9238795325, 0.3826834324, 0.0;
N_B2; 0.9238795325, 0.3826834324, 0.0; /* 22.5 degres */
N_A3; -0.8314696123, 0.555570233, 0.0;
N_B3; 0.8314696123, 0.555570233, 0.0; /* 33.75 deg. */
N_A4; -0.7071067812, 0.7071067812, 0.0;
N_B4; 0.7071067812, 0.7071067812, 0.0; /* 45 deg. */
N_A5; -0.555570233, 0.8314696123, 0.0;
N_B5; 0.555570233, 0.8314696123, 0.0; /* 56.25 deg */
N_A6; -0.3826834324, 0.9238795325, 0.0;
N_B6; 0.3826834324, 0.9238795325, 0.0; /* 67.5 deg */
N_A7; -0.195090322, 0.9807852804, 0.0;
N_B7; 0.195090322, 0.9807852804, 0.0; /* 78.75 deg */
```

```
PROPERTY(TYPE=ISOTROPIC) /* definition du materiau "mat1" */
mat1; E=2.0E11, NU=0.3, DEN=7.8E3; /* module d'Young, coef. Poisson, densite */
```

```
PROPERTY(TYPE=BEAM_LINEAR) /* proprietes de la poutre "beam1" */
beam1; AR=1.131E-4, /* aire de la section */
        IYY=4.637E-9, IZZ=4.637E-9, /* moment d'inertie */
        TC=9.274E-9; /* constante de torsion */
```

```
/* Definition des poutres droite: AB et CD */
ELEMENT(TYPE=BEAM_LINEAR, PROP=beam1, MAT=mat1)
```

```
#ifdef _N4
; N_A, N_A2;
; N_A2, N_A4;
; N_A4, N_A6;
; N_A6, N_C;
; N_C, N_B6;
; N_B6, N_B4;
; N_B4, N_B2;
; N_B2, N_B;
#else
; N_A, N_A1;
; N_A1, N_A2;
; N_A2, N_A3;
; N_A3, N_A4;
; N_A4, N_A5;
; N_A5, N_A6;
; N_A6, N_A7;
; N_A7, N_C;
; N_C, N_B7;
; N_B7, N_B6;
; N_B6, N_B5;
; N_B5, N_B4;
; N_B4, N_B3;
; N_B3, N_B2;
; N_B2, N_B1;
; N_B1, N_B;
#endif
```

```
/* elimination des degres de liberte
```

```

* les déplacements possibles sont dans le plan XoY
*/
CONSTRAINT(TYPE=KINEMATICS)
; ALL,      Z,RX,RY;

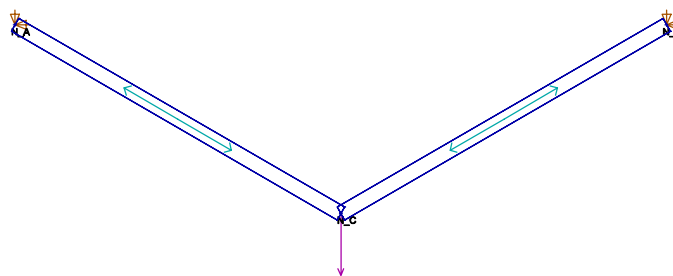
RESTRAINT(TYPE=DISPLACEMENT)
; N_A, X=0.0, Y=0.0;           /* blocage du noeud A */
; N_B, Y=0.0;

/* force concentrée au noeud C dirigée vers le bas */
LOAD(TYPE=FORCE)
; N_C,   Y=-100.0;

/* préparation du calcul */
STEP()
; MODEL="ARC MINCE BI-ARTICULE EN FLEXION PLANE (AFNOR)",
RUN="statique";

```

SSLL09 Système de deux barres à trois rotules



```

*****
SSLL 09/89 SYSTEME DE DEUX BARRES A TROIS ROTULES

```

"Guide de Validation des Programmes de calcul des structures"
AFNOR 1990, ISBN 2-12-486611-7

ANALYSE: STATIQUE (PROBLEME PLAN)
TEST: ELEMENTAIRE
FONCTIONS: TREILLIS PLAN, BARRES ARTICULEES

Calcul:
Déplacement en C: Y= -0.003
contrainte de traction dans les barres 7E+7 Pa soit 21000 N

```
*****
```

NODE()
N_A; -3.89711, 0.0, 0.0;
N_B; 3.89711, 0.0, 0.0;
N_C; 0.0,-2.25,0.0;

PROPERTY(TYPE=ISOTROPIC) /* définition du matériau "mat1" */
mat1; E=2.1E11; /* module d'Young */

PROPERTY(TYPE=ROD) /* propriétés de la barre "rod1" */
rod1; AR=3.0E-4; /* aire de la section de la barre */

/* Définition des barres */
ELEMENT(TYPE=ROD,PROP=rod1,MAT=mat1)
; N_A,N_C;
; N_B,N_C;

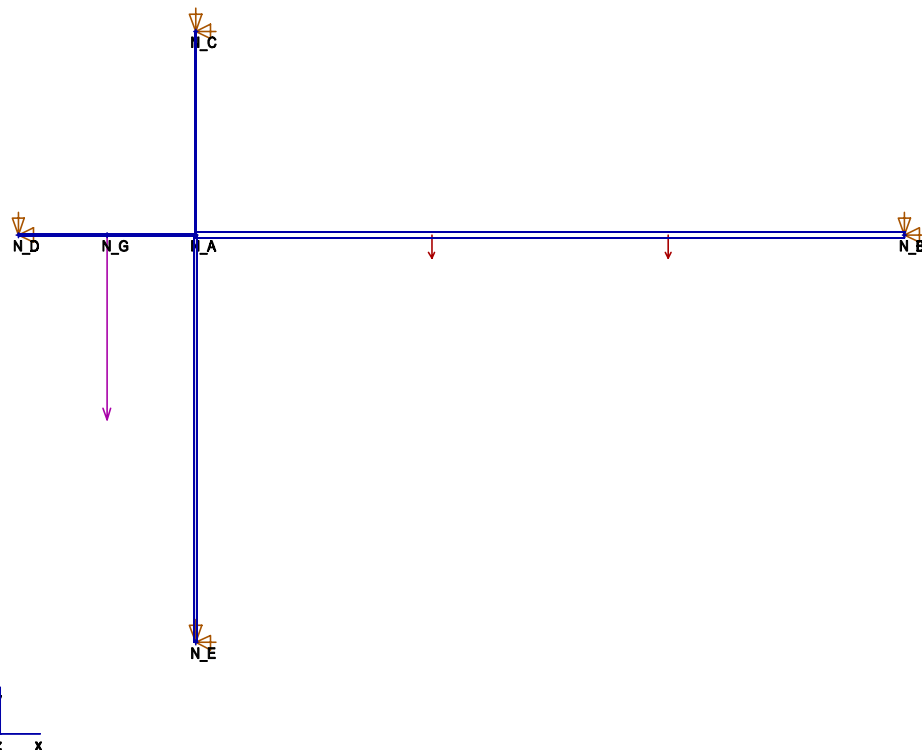
```
/*
      elimination des degrés de liberté*/
CONSTRAINT(TYPE=KINEMATICS)
; ALL,      Z,RX,RY,RZ;

RESTRAINT(TYPE=DISPLACEMENT)
; N_A, X=0.0, Y=0.0;
; N_B, X=0.0, Y=0.0;

/*      forces concentrées au noeud C      */
LOAD(TYPE=FORCE)
; N_C,      Y= -21.0E3;

/* préparation du calcul */
STEP()
;           MODEL="SYSTEME DE DEUX BARRES A TROIS ROTULES (AFNOR)",
RUN="statique";
```

SSLL10 Portique à liaisons latérales



SSLL 10/89 PORTIQUE A LIAISON LATERALES

"Guide de Validation des Programmes de calcul des structures"
AFNOR 1990, ISBN 2-12-486611-7

ANALYSE: STATIQUE (PROBLEME PLAN)
TEST: ELEMENTAIRE
FONCTIONS: FLEXION DANS LE PLAN, POUTRE DROITE ELANCÉE

Calcul:

en A, rotation 0.227118,
Moments M(AB) 11023.72, M(AC) 113.559,
Moments M(AD) -12348.588, M(AE) 1211.2994

```

NODE()
N_A;    0.0,      0.0,      0.0;
N_B;    4.0,      0.0,      0.0;
N_C;    0.0,      1.0,      0.0;
N_D;    -1.0,     0.0,      0.0;
N_G;    -0.5,     0.0,      0.0;
N_E;    0.0,      -2.0,     0.0;
N_A2;   2.0,      0.0,      0.0;

PROPERTY(TYPE=ISOTROPIC)          /* definition du materiel */
mat1;    E=2.0E11,             /* module d'Young           */
        DEN=7.8E3;            /* densite                 */

PROPERTY(TYPE=BEAM_LINEAR)        /* proprietes des poutres   */
AB;      IZZ=2.1333333333E-7,    AR=16.0E-4; /* inertie et aire de la section */
AC;      IZZ=8.3333333333E-10,   AR=1.0E-4;
AD;      IZZ=8.3333333333E-10,   AR=1.0E-4;
AE;      IZZ=1.3333333333E-8,    AR=4.0E-4;

/*      Definition des barres */
ELEMENT(TYPE=BEAM_LINEAR,PROP=AB,MAT=mat1)
E1_AB;  N_A, N_B;

ELEMENT(TYPE=BEAM_LINEAR,PROP=AC,MAT=mat1)
;       N_A, N_C;

ELEMENT(TYPE=BEAM_LINEAR,PROP=AD,MAT=mat1)
;       N_D, N_G;
;       N_G, N_A;

ELEMENT(TYPE=BEAM_LINEAR,PROP=AE,MAT=mat1)
;       N_A, N_E;

/*      elimination des degres de liberte */
CONSTRAINT(TYPE=KINEMATICS)
; ALL,    Z, RX, RY;

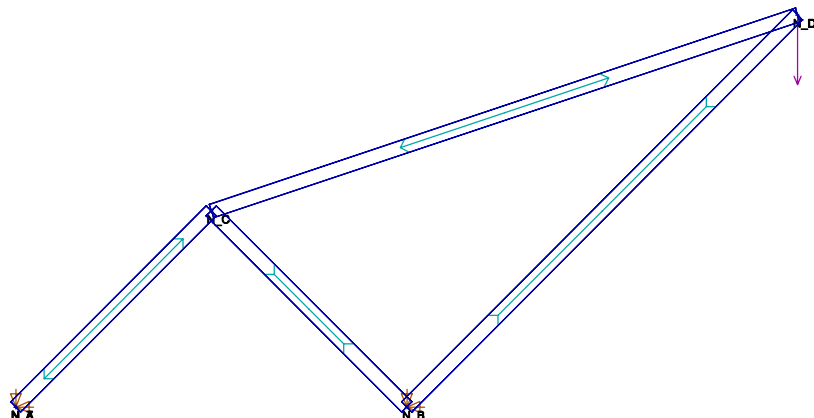
RESTRAINT(TYPE=DISPLACEMENT)
; N_B, X=0.0, Y=0.0, RZ=0.0;
; N_C, X=0.0, Y=0.0;
; N_D, X=0.0, Y=0.0, RZ=0.0;
; N_E, X=0.0, Y=0.0, RZ=0.0;

/*      force concentree au noeud N_G */
LOAD(TYPE=FORCE)
; N_G,   Y=-1.0E5;

LOAD(TYPE=ED_PRESSURE) /* charge repartie sur la poutre AB */
; E1_AB, E2= -1.0E3;

/* preparation du calcul */
STEP()
; MODEL="PORTIQUE A LIAISONS LATERALES (AFNOR)",
RUN="statique";

```

SSLL11 Treillis de barres articulées sous une charge ponctuelle

```
*****
SSLL 11/89 TREILLIS DE BARRES ARTICULEES SOUS UNE
CHARGE PONCTUELLE
```

"Guide de Validation des Programmes de calcul des structures"
AFNOR 1990, ISBN 2-12-486611-7

ANALYSE: STATIQUE (PROBLEME PLAN)
TEST: ELEMENTAIRE
FONCTIONS: TREILLIS PLAN, BARRES ARTICULEES

Calcul:
en C, déplacement 2.6517E-4, 8.839E-5
en D, déplacement 3.47902E-3, -5.60084E-3

```
*****
```

NODE()
N_A; 0.0, 0.0, 0.0;
N_B; 1.0, 0.0, 0.0;
N_C; 0.5, 0.5, 0.0;
N_D; 2.0, 1.0, 0.0;
N_Z; 0.0, 0.0, 1.0;

PROPERTY(TYPE=ISOTROPIC) /* définition du matériau "mat1" */
mat1; E=1.962E11; /* module d'Young */

PROPERTY(TYPE=ROD) /* propriétés des poutres */
AC_CB; AR=2.0E-4; /* aire de la section */
CD_DB; AR=1.0E-4;

/* Définition des barres */
ELEMENT(TYPE=ROD, PROP=AC_CB, MAT=mat1)
; N_A, N_C;
; N_B, N_C;

ELEMENT(TYPE=ROD, PROP=CD_DB, MAT=mat1)
; N_C, N_D;
; N_D, N_B;

/* élimination des degrés de liberté */
CONSTRAINT(TYPE=KINEMATICS)
; ALL, Z, RX, RY, RZ;

RESTRAINT(TYPE=DISPLACEMENT)

```

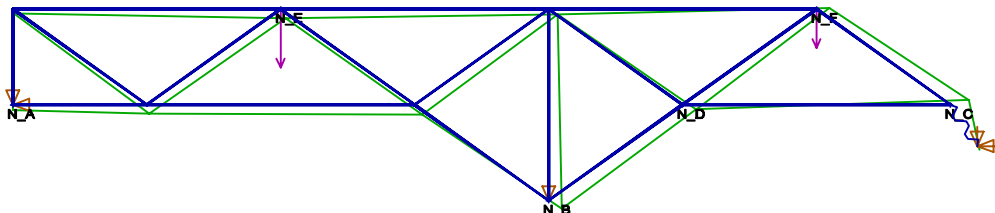
; N_A, X= 0.0, Y= 0.0;
; N_B, X= 0.0, Y= 0.0;

/* force concentree au noeud D */
LOAD(TYPE=FORCE)
; N_D, Y= -9.81E3;

/* preparation du calcul */
STEP()
; MODEL="TREILLIS DE BARRES ARTICULEES SOUS UNE CHARGE PONCTUELLE (AFNOR)",
RUN="statique";

```

SSLL12 Système triangulé de barres articulées



0

SSLL 12/89 SYSTEME TRIANGULE DE BARRES ARTICULEES

"Guide de Validation des Progiciels de calcul des structures"
AFNOR 1990, ISBN 2-12-486611-7

ANALYSE: STATIQUE (PROBLEME PLAN)
TEST: ELEMENTAIRE
FONCTIONS: POUTRE DROITE ELANCEE, FLEXION DANS LE PLAN
TRACTION COMPRESSION

Calcul:
effort de traction entre B et D : 43633
deplacement vertical du point D -0.01618

Modelisation: si aucun deplacement n'était imposé en C, une liaison du type MPC pourrait être employée pour modéliser le glissement sur plan incliné.

CONSTRAINT(TYPE=MPC)
; N_C, Y, 1.0, N_C, X, -2.0;

NODE()
N_A; 0.0, 0.0, 0.0;
N_B; 20.0, -4.0, 0.0;
N_C; 35.0, 0.0, 0.0;

```

N_D;    25.0,    0.0,    0.0;
N_E;    10.0,    4.0,    0.0;
N_F;    30.0,    4.0,    0.0;
N_A1;   0.0,    4.0,    0.0;
N_A2;   5.0,    0.0,    0.0;
N_B1;   15.0,    0.0,    0.0;
N_B2;   20.0,    4.0,    0.0;
N_C1;   36.0,   -1.732, 0.0;

PROPERTY(TYPE=ISOTROPIC)      /* definition du materiau "mat1" */
mat1;   E=2.1E11,             /* module d'Young */          */
        A=1.0E-5;            /* coefficient de dilatation thermique */

PROPERTY(TYPE=ROD)           /* proprietes de la poutre "beam1" */
A1;     AR=1.41E-3;          /* moment d'inertie des barres A1 */
A2;     AR=2.82E-3;          /* moment d'inertie des barres A2 */

PROPERTY(TYPE=SPRING)
S1;     K=2.0E14; /* rigidite tres grande => barre quasi-rigide */

/* Definition des barres articulees */
/* le troisieme point des barres n'a pas besoin d'etre definit */
ELEMENT(TYPE=ROD,PROP=A1,MAT=mat1)
;      N_A,    N_A1;
;      N_A1,   N_A2;
;      N_A2,   N_E;
;      N_E,    N_B1;
;      N_B1,   N_B2;
;      N_B2,   N_D;
;      N_D,    N_F;
;      N_F,    N_C;

ELEMENT(TYPE=ROD,PROP=A2,MAT=mat1)
;      N_A,    N_A2;
;      N_A2,   N_B1;
;      N_B1,   N_B;
1;      N_B,    N_D;
;      N_D,    N_C;
;      N_A1,   N_E;
;      N_E,    N_B2;
;      N_B2,   N_B;
;      N_B2,   N_F;

ELEMENT(TYPE=SPRING, PROP=S1)
;      N_C,    N_C1;

/* Elimination des degres de liberte */
CONSTRAINT(TYPE=KINEMATICS)
; ALL,    Z,RX,RY,RZ;

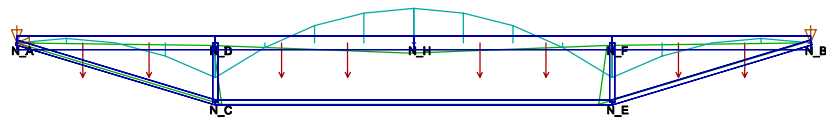
RESTRAINT(TYPE=DISPLACEMENT)
; N_A, X=0.0, Y=-0.02;
; N_B, Y=-0.03;
; N_C1, X=0.0075,Y=-0.01299, /* deplacement X=0.015 sin(30) => Y=-0.015 cos(30) en C1 */

/* chargement des forces concentrees*/
LOAD(TYPE=FORCE)
; N_E,    Y= -150.0E3;
; N_F,    Y= -100.0E3;

LOAD(TYPE=AM_TEMPERATURE)
;       AM=150.0,      0.0;      /* temperature ambiante 150, temperature de reference=0 */

/* preparation du calcul */
STEP()
;       MODEL="SYSTEME TRIANGULE DE BARRES ARTICULEES (AFNOR)",
RUN="statique";

```

SSLL13 Poutre sous-tendue

 SSLL 13/89 POUTRE SOUS-TENDUE

"Guide de Validation des Progiciels de calcul des structures"
 AFNOR 1990, ISBN 2-12-486611-7

ANALYSE: STATIQUE (PROBLEME PLAN)
 TEST: APPLICATION
 FONCTIONS: BARRES ARTICULEES, POUTRE DROITE, FLEXION DANS LE PLAN
 DEFORMATION DEFFORT TRANCHANT

Solution analytique:

effort de traction entre C et E : 584584.0

Moment flechissant en H : 49249.5

calcul par progiciels (moyenne selon AFNOR)

deplacement vertical du point D -0.0005428

Modelisation:

La precontrainte dans la barre CE est modelisee en creant une contraction thermique telle que L.A.(T-T0) = -6.52E-3m

AR=section de la barre,
 L=longueur de la barre,
 A=coef. dilatation thermique,
 T=temperature ambiante,
 T0=temperature pour laquelle les dilatations sont nulles

```
NODE()
N_A;    0.0,      0.0,      0.0;
N_B;    8.0,      0.0,      0.0;
N_C;    2.0,     -0.6,      0.0;
N_D;    2.0,      0.0,      0.0;
N_E;    6.0,     -0.6,      0.0;
N_F;    6.0,      0.0,      0.0;
N_H;    4.0,      0.0,      0.0;
```

```
PROPERTY(TYPE=ISOTROPIC)      /* definition du materiel "mat1" */
mat1;    E=2.1E11, NU=0.25, A=0.0; /* pas de dilatation thermique */
mat2;    E=2.1E11, NU=0.25, A=1.0E-5; /* dilatations thermiques possibles */
```

```
PROPERTY(TYPE=BEAM_LINEAR)    /* proprietes des poutres entre A et B */
beam1;   AR=0.01516, IZZ=2.174E-4, SRY=2.5;
```

```
PROPERTY(TYPE=ROD)           /* proprietes des barres*/
A1;      AR=4.5E-3;
```

A3; AR=3.48E-3;

```

ELEMENT(TYPE=BEAM_LINEAR,PROP=beam1,MAT=mat1)
bAD; N_A, N_D; /* une charge repartie est appliquee */
bDH; N_D, N_H; /* sur ces poutres, il faut leur donner un numero */
bHF; N_H, N_F; /* ou un nom pour pouvoir les referencer */
bFB; N_F, N_B;

ELEMENT(TYPE=ROD,PROP=A3,MAT=mat1)
; N_C, N_D;
; N_E, N_F;

ELEMENT(TYPE=ROD,PROP=A1,MAT=mat1)
; N_A, N_C;
; N_E, N_B;

/* seule la barre CE est soumise a des dilatations thermiques */
ELEMENT(TYPE=ROD, PROP=A1, MAT=mat2)
; N_C, N_E;

/* Elimination des degres de libertes Z, RX, RY */
CONSTRAINT(TYPE=KINEMATICS)
; ALL Z,RX,RY;
; N_C, Z,RX,RY,RZ; /* Elimination supplementaire de la rotation RZ */
; N_E, Z,RX,RY,RZ;

RESTRAINT(TYPE=DISPLACEMENT)
; N_A, X=0.0, Y=0.0; /* blocage du noeud A */
; N_B, Y=0.0; /* blocage noeud B dans la direction Y seulement */

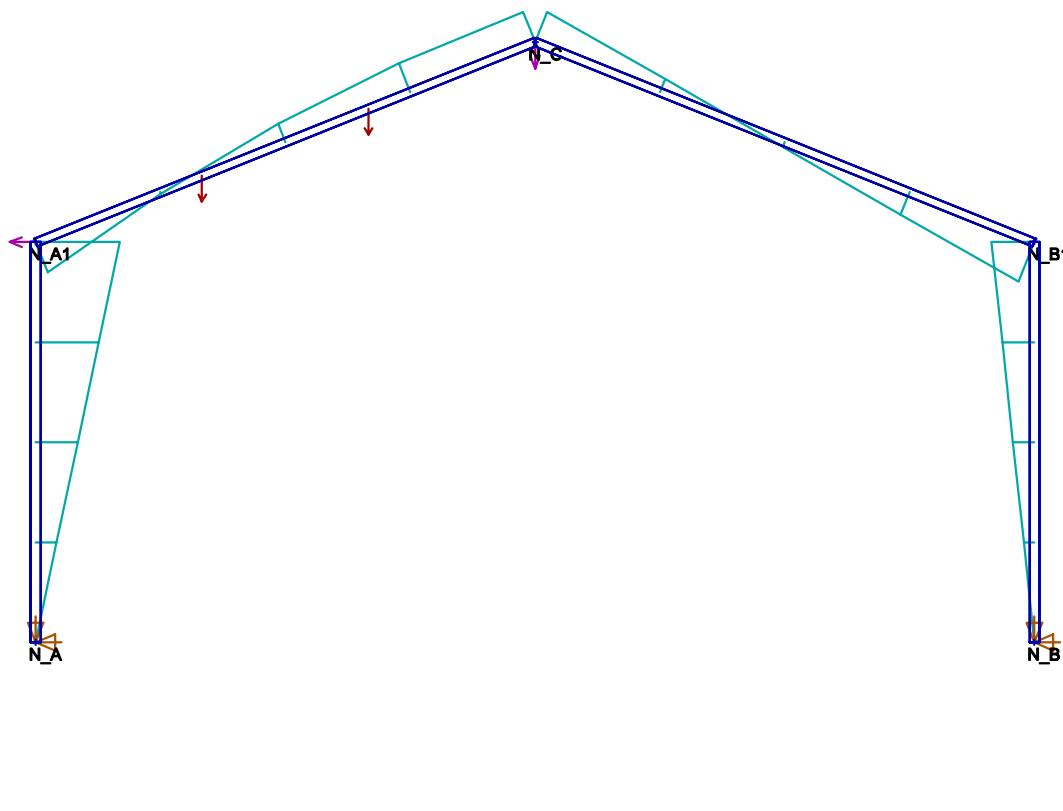
/* forces reparties sur les poutres AD, DH, HF, FB */
LOAD(TYPE=EDGE_PRESSURE)
; bAD, E2= -50.0E3;
; bDH, E2= -50.0E3;
; bHF, E2= -50.0E3;
; bFB, E2= -50.0E3;

/* temperature ambiante -36.2222 => racourcissement de la barre CE */
LOAD(TYPE=AM_TEMPERATURE)
; AM= -163.0, 0.0;

/* preparation du calcul */
STEP()
; MODEL="POUTRE SOUS-TENDUE (AFNOR)",
RUN="statique";

```

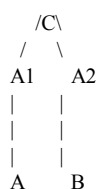
SSLL14 Portique plan articulé en pied



SSLL 14/89 PORTIQUE PLAN ARTICULE EN PIED

"Guide de Validation des Progiciels de calcul des structures"
AFNOR 1990, ISBN 2-12-486611-7

ANALYSE:	STATIQUE (PROBLEME PLAN)
TEST:	ELEMENTAIRE
FONCTIONS:	POUTRE DROITE ELANCEE, FLEXION DANS LE PLAN TRACTION COMPRESSION



hauteur des poteaux 8m, hauteur au sommet du toit (C) 12m
distance entre poteaux 20m.

moments d'inertie pour poteaux 5.0E-4 m⁴, pout fermes 2.5E-4
force appliquée en C (Y) -100000.0 N, en A1 (X) -10000.0, (RZ) -100000.0
charge repartie verticale entre A1 et C -3000 N/m
Hypothèse sur les sections: section carree

noeud A,B: articules

Calcul:
reaction en A (X) 20239.4, (Y) 31500.0
deplacement vertical en C (Y) -0.03072

```
*****
NODE()
N_A;    0.0,      0.0,      0.0;
N_B;    20.0,     0.0,      0.0;
N_C;    10.0,     12.0,     0.0;
N_A1;   0.0,      8.0,      0.0;
N_B1;   20.0,     8.0,      0.0;

PROPERTY(TYPE=ISOTROPIC)          /* definition du materiel "mat1" */
mat1; E=2.1E11;                  /* module d'Young */

PROPERTY(TYPE=BEAM_LINEAR)        /* proprietes de la poutre "beam1" */
ibeam1; AR=7.746E-2, IZZ=5.0E-4; /* aire et moment d'inertie des piliers */
beam2; AR=5.477E-2, IZZ=2.5E-4;  /* aire et moment d'inertie des fermes */

/*      Definition des poutres droite: AB et CD      */
ELEMENT(TYPE=BEAM_LINEAR, PROP=ibeam1, MAT=mat1)
;      N_A, N_A1;      /* poutre A-A1      */
;      N_B, N_B1;      /* poutre B-B1      */

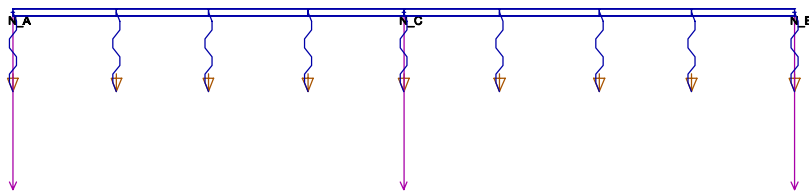
ELEMENT(TYPE=BEAM_LINEAR, PROP=beam2, MAT=mat1)
ferme; N_A1, N_C;      /* poutre C-A1 ferme droite      */
;      N_C, N_B1;      /* poutre C-A2 ferme gauche      */

/* Elimination des degres de liberte
 * les deplacements possibles sont dans le plan XoY
 */
CONSTRAINT(TYPE=KINEMATICS)
; ALL,      Z,RX,RY;

RESTRAINT(TYPE=DISPLACEMENT)
; N_A, X=0.0, Y=0.0;      /* blocage des noeuds A et B */
; N_B, X=0.0, Y=0.0;

/*      chargement des forces concentrees*/
LOAD(TYPE=FORCE)
; N_C,      Y= -20000.0;
; N_A1,     X= -10000.0, RZ= -100.0E3;

/*      charge repartie sur ferme gauche */
LOAD(TYPE=ED_PRESSURE, DIRECT=X)
; ferme,   E2= -3000.0;      /* la charge est dirigee selon l'axe y */
/* preparation du calcul */
STEP()
;      MODEL="PORTIQUE PLAN ARTICULE EN PIED (AFNOR)",
RUN="statique";
```

SSLL15 Poutre sur sol élastique, extrémités libres

```
*****
SSLL 15/89 POUTRE SUR SOL ELASTIQUE, EXTREMITES LIBRES
```

"Guide de Validation des Progiciels de calcul des structures"
AFNOR 1990, ISBN 2-12-486611-7

ANALYSE: STATIQUE (PROBLEME PLAN)
TEST: ELEMENTAIRE
FONCTIONS: POUTRE DROITE ELANCEE, APPUI CONTINU ELASTIQUE
EXTREMITES LIBRES
A-----C-----B

$L(AC) = L(CB) = \pi * \sqrt{10} / 2 = 4.967$
Force en A, C et B: $F = -10E3$ N
Raideur linéaire: $840E3$ N/m

La rigidité du sol élastique est modélisée par une succession de ressorts

Solution analytique:
en C, Moment fléchissant $M_y = 5759$ Nm, flèche $Z = -0.006844$
en A, flèche $Z = -0.007854$, Rotation $R_y = -0.000706$ rad

calcul avec 2 poutres (avec écarts par rapport à la solution analytique):

en C, $M_y = 5510$ (-4%), $Z = -6.92E-3$ (+1%)
en A, $Z = -7.46E-3$ (-5%), $R_y = -0.326E-3$ (-54%)

La modélisation avec 2 poutres seulement est très satisfaisante,
sauf pour le calcul des rotations aux extrémités.

calcul avec 8 poutres:
en C, $M_y = 5901$ (+2%), $Z = -6.901E-3$ (+0.8%)
en A, $Z = -7.848E-3$ (-0.07%), $R_y = -0.693E-3$ (-2%)

```
*****
/* macro pour utiliser 8 poutres */
#define DEF_8 1
```

```
#define HF -0.5
NODE()
N_A; -2.4836, 0.0, 0.0;
N_B; 2.4836, 0.0, 0.0;
N_C; 0.0, 0.0, 0.0; /* centre de la poutre */
N_AF; -2.4836, 0.0, HF; /* noeuds formant les points d'appui des fondations */
N_BF; 2.4836, 0.0, HF;
N_CF; 0.0, 0.0, HF;
```

```

#ifndef DEF_8
N_A1; -0.6091, 0.0, 0.0;
N_B1; 0.6091, 0.0, 0.0;
N_A2; -1.2418, 0.0, 0.0;
N_B2; 1.2418, 0.0, 0.0;
N_A3; -1.8267, 0.0, 0.0;
N_B3; 1.8267, 0.0, 0.0;
N_A1F; -0.6091, 0.0, HF;
N_B1F; 0.6091, 0.0, HF;
N_A2F; -1.2418, 0.0, HF;
N_B2F; 1.2418, 0.0, HF;
N_A3F; -1.8267, 0.0, HF;
N_B3F; 1.8267, 0.0, HF;
#endif

PROPERTY(TYPE=ISOTROPIC) /* definition du materiau "mat1" */
mat1; E=2.1E11; /* module d'Young */

PROPERTY(TYPE=BEAM_LINEAR) /* proprietes de la poutre "beam1" */
ibeam1; IYY=1.0E-4; /* moment d'inertie des piliers */

#ifndef DEF_8
PROPERTY(TYPE=SPRING) /* proprietes des ressorts (sol elastique) */
ress1; K=260782.9; /* rigidite aux extremites */
ress2; K=521565.9;
#else
PROPERTY(TYPE=SPRING) /* proprietes des ressorts (sol elastique) */
ress1; K=1043131.8; /* rigidite aux extremites */
ress2; K=2086263.5;
#endif

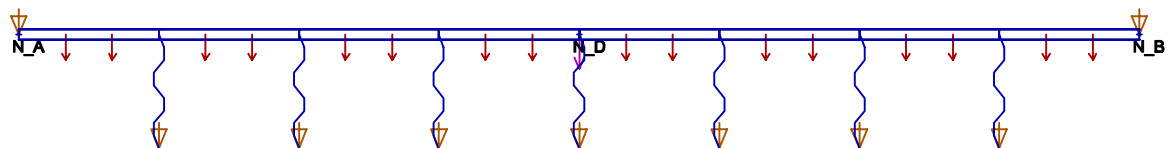
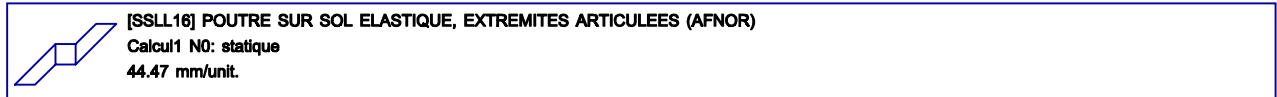
/* Definition des poutres */
ELEMENT(TYPE=BEAM_LINEAR, PROP=ibeam1, MAT=mat1)
#ifndef DEF_8
; N_A, N_A3;
; N_A3 N_A2;
; N_A2 N_A1;
; N_A1, N_C;
; N_C, N_B1;
; N_B1, N_B2;
; N_B2, N_B3;
; N_B3, N_B;
#else
; N_A, N_C;
; N_C, N_B;
#endif
/* ressorts aux extremites */
ELEMENT(TYPE=SPRING, PROP=ress1)
; N_A, N_AF;
; N_B, N_BF;
/* ressort(s) interne(s) */
ELEMENT(TYPE=SPRING, PROP=ress2)
; N_C, N_CF;
#ifndef DEF_8
; N_A1, N_A1F;
; N_A2, N_A2F;
; N_A3, N_A3F;
; N_B1, N_B1F;
; N_B2, N_B2F;
; N_B3, N_B3F;
#endif

/* Elimination des degres de liberte
 * les deplacements possibles sont dans le plan XoZ (deplacement Z et rotation RY permis)
 */
CONSTRAINT(TYPE=KINEMATICS)
; ALL, X,Y,RX,RZ;
RESTRAINT(TYPE=DISPLACEMENT)
; N_AF, Z=0.0; /* blocage du deplacement des noeuds des fondations */
; N_BF, Z=0.0;
; N_CF, Z=0.0;
#ifndef DEF_8
; N_A1F, Z=0.0;
; N_B1F, Z=0.0;
; N_A2F, Z=0.0;

```

```
; N_B2F, Z=0.0;  
; N_A3F, Z=0.0;  
; N_B3F, Z=0.0;  
#endif  
/* chargement des forces concentrees */  
LOAD(TYPE=FORCE)  
; N_A, Z=-10E3;  
; N_B, Z=-10E3;  
; N_C, Z=-10E3;  
/* preparation du calcul */  
STEP()  
; MODEL="POUTRE SUR SOL ELASTIQUE, EXTREMITES LIBRES (AFNOR)",  
RUN="statique";
```

SSLL16 Poutre sur sol élastique, extrémités articulées



```
*****
```

SSLL 16/89 POUTRE SUR SOL ELASTIQUE, EXTREMITES ARTICULEES

"Guide de Validation des Progiciels de calcul des structures"
AFNOR 1990, ISBN 2-12-486611-7

ANALYSE: STATIQUE (PROBLEME PLAN)
TEST: ELEMENTAIRE
FONCTIONS: POUTRE DROITE ELANCEE, APPUI CONTINU ELASTIQUE
FLEXION DANS LE PLAN

A-----D-----B

$L(AC) = L(CB) = \pi * \sqrt{10}/2 = 4.967$
Force en D: $F = -10E3$ N

Moments en A: 15E3 Nm, en B -15E3 Nm

charge repartie -5E3 N/m

Raideur lineique= 840E3 N/m

La rigidite du sol elastique est modelise par une succession de ressorts

Solution analytique:

en A, rotation RY= 0.003045, Reaction Fz= 11674

en D, fleche Z= -4.23326E-3, Moment My= 33840

calcul avec 2 poutres (avec ecart par rapport a la solution analytique):

en A, RZ= 3.076E-3 (+1%), Fz= 13000 (+11%)

en D, Z= -4.232E-3 (-0.03%), Mz= -31870 (-6%)

La modelisation en seulement 2 poutres est satisfaisante

calcul avec 8 poutres:

en A, RZ= 3.045E-3 (0%), Fz= 11760 (+0.7%)

en D, Z= -4.233E-3 (0%), Mz= -33730 (-3%)

*****/* macro pour utiliser 8 poutres */

#define DEF_8 1

```
#define HF -0.5
#define X0 2.483647
#define X1 0.620912
#define X2 1.241826
#define X3 1.862735
#define _X0 -2.483647
#define _X1 -0.620912
#define _X2 -1.241826
#define _X3 -1.862735
NODE()
N_A; _X0, 0.0, 0.0;
N_B; X0, 0.0, 0.0;
N_D; 0.0, 0.0, 0.0; /* centre de la poutre */
```

```
N_AF; _X0, 0.0, HF; /* noeuds formant les points d'appui des fondations */
N_BF; X0, 0.0, HF;
N_DF; 0.0, 0.0, HF;
```

```
#ifdef DEF_8
N_A1; _X1, 0.0, 0.0;
N_B1; X1, 0.0, 0.0;
N_A2; _X2, 0.0, 0.0;
N_B2; X2, 0.0, 0.0;
N_A3; _X3, 0.0, 0.0;
N_B3; X3, 0.0, 0.0;
```

```
N_A1F; _X1, 0.0, HF;
N_B1F; X1, 0.0, HF;
N_A2F; _X2, 0.0, HF;
N_B2F; X2, 0.0, HF;
N_A3F; _X3, 0.0, HF;
N_B3F; X3, 0.0, HF;
```

#endif

```
PROPERTY(TYPE=ISOTROPIC) /* definition du materiau "mat1" */
mat1; E=2.1E11; /* module d'Young */
```

```
PROPERTY(TYPE=BEAM_LINEAR) /* proprietes de la poutre "beam1" */
ibeam1; IYY=1.0E-4; /* moment d'inertie des piliers */
```

```
PROPERTY(TYPE=SPRING) /* proprietes des ressorts (sol elastique) */
```

```
#ifdef DEF_8
ress2; K=521565.9;
#else
ress2; K=2086263.5;
#endif
```

/* Definition des poutres */

```
ELEMENT(TYPE=BEAM_LINEAR, PROP=ibeam1, MAT=mat1)
#endif
e1; N_A, N_A3;
e2; N_A3 N_A2;
```

```

e3; N_A2 N_A1;
e4; N_A1, N_D;
e5; N_D, N_B1;
e6; N_B1, N_B2;
e7; N_B2, N_B3;
e8; N_B3, N_B;
#else
e1; N_A, N_D;
e2; N_D, N_B;
#endif

/* ressort(s) */
ELEMENT(TYPE=SPRING, PROP=ress2)
; N_D, N_DF;
#ifndef DEF_8
; N_A1, N_A1F;
; N_A2, N_A2F;
; N_A3, N_A3F;
; N_B1, N_B1F;
; N_B2, N_B2F;
; N_B3, N_B3F;
#endif

/* Elimination des degres de liberte
 * les deplacements possibles sont dans le plan XoZ (deplacement Z et rotation RY permis)
 */
CONSTRAINT(TYPE=KINEMATICS)
; ALL, X,Y,RX,RZ;

RESTRAINT(TYPE=DISPLACEMENT)
; N_A, Z=0.0; /* blocage du deplacement des noeuds aux extremites */
; N_B, Z=0.0;
; N_DF, Z=0.0; /* blocage du deplacement des noeuds des fondations */
#ifndef DEF_8
; N_A1F, Z=0.0;
; N_B1F, Z=0.0;
; N_A2F, Z=0.0;
; N_B2F, Z=0.0;
; N_A3F, Z=0.0;
; N_B3F, Z=0.0;
#endif

/* chargement des forces concentrees */
LOAD(TYPE=FORCE)
; N_A, RY= 15E3;
; N_B, RY= -15E3;
; N_D, Z= -10E3;

/* charge repartie */
#define pres -5000.0
LOAD(TYPE=ED_PRESSURE)
; e1, E3= pres;
; e2, E3= pres;
#ifndef DEF_8
; e3, E3= pres;
; e4, E3= pres;
; e5, E3= pres;
; e6, E3= pres;
; e7, E3= pres;
; e8, E3= pres;
#endif

/* preparation du calcul */
STEP()
; MODEL="POUTRE SUR SOL ELASTIQUE, EXTREMITES ARTICULEES (AFNOR)",
RUN="statique";

```
